

SPによるテスト系列自動生成システム

高山浩一郎

広瀬文保

川戸信明

(株)富士通研究所

被検査回路のテスト系列を自動生成する「テスト生成回路」をホスト上で自動合成し、これを論理シミュレーション専用マシンSPで高速にシミュレーションすることによりテスト系列を自動生成するシステムを研究開発中である。テストパターンの生成手法に関しては、これまでの縦型探索アルゴリズムに基づく手法に加え、ランダムパターンを用いたテスト生成手法を実現した。

本文では、複数のプロセッサを用いて、ランダムパターンによるテスト生成手法をISCASのベンチマーク回路に適用して性能評価を行ったので報告する。また、複数のプロセッサを用いた並列処理による高速化と、局所的に有効な故障のみの挿入による効果について解析を加えた。さらに、ランダムパターンによるテスト生成手法から、アルゴリズムミミックな手法に変更することによる高検出率の達成の可能性を確認した。

An automatic test pattern generation system using SP

Koichiro TAKAYAMA Fumiyasu HIROSE Nobuaki KAWATO

FUJITSU LABORATORIES LTD.

1015, Kamikodanaka, Nakahara-ku, KAWASAKI 211, JAPAN

We are developing an ATPG system using an ultrahigh-speed logic simulator "SP". We synthesize a 'test-generation circuit' of a circuit under test, which automatically generates the tests of the original circuit. The tests are generated by simulating the test-generation circuit using the SP. We implemented the random pattern test mode into our test-generation circuit, where one of the depth-first-type algorithmic mode is already working.

In this paper, we report experimental results of the random test pattern using the ISCAS benchmark circuits. We also analyzed the performance of parallel processing using multiple processors of the SP and the effect of the locally effective fault injection. And we confirmed the ability of high fault coverage by changing the generation mode from the random pattern test to the algorithmic approach.

1.はじめに

VLSIなどの製品の品質を保持する手段としてテストパターンを用いた検査が行われている。ところがVLSIの高集積化に伴い、高品質なテストパターンを高速に求めることが困難になっている。

順序回路のテストパターン生成は、テスト容易化設計の採用により組合せ回路の問題に帰着して問題の単純化を行っている⁽¹⁾。そして、組合せ回路のテストパターン生成に対しては、これまでに、いくつかの手法が提案されている^(2~6)が、我々は、さらに高速化が期待できるアプローチとして、シミュレーション専用マシンを応用したテスト生成システムの開発に着手した^(8,9)。図1に本システムの概要を示す。

まず、被検査回路（組合せ回路）と仮定故障集合からテスト生成回路をホスト計算機上で自動的に合成する。そして、高速な論理シミュレータを用いてテスト生成回路の動作を模擬することにより被検査回路に対するテスト系列を自動生成する。論理シミュレータとしてはSP⁽⁷⁾を使用する。

被検査回路の初期的な入力としてランダムパターンを用いると、短時間に高い検出率を達成することができる。本文では、あらかじめ用意したランダムパターンを用いたテスト生成手法を実現し、ベンチマーク回路に適用して性能を評価した。また、複数のプロセッサを用いて並列処理による効果を測定した。並列処理方式としては、仮定故障の集合を分割して各プロセッサに与え、並列にテスト生成を行う方式を採用した。

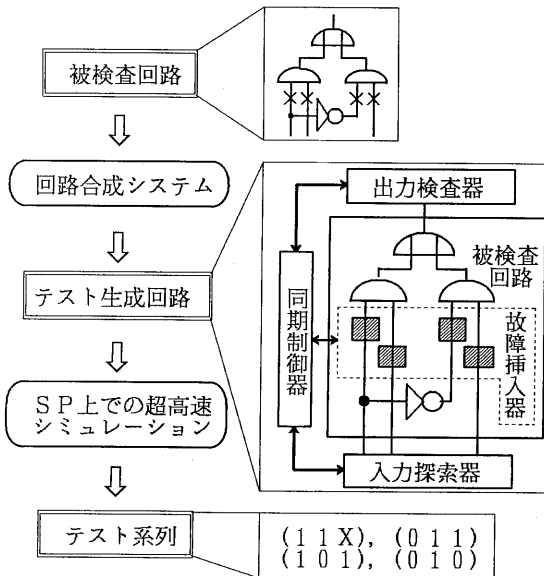


図1. テスト系列自動生成システムの概要

実験の結果、回路によって処理時間が台数以上の加速を示したものがあつた。これは、テスト生成回路のインプリメント法によるものである。

ランダムパターンによるテスト生成を行った後、まだ検出率が不十分である場合には、ランダムパターンで検出されなかった故障に対してアルゴリズム的な探索によるテスト生成手法を適用することによりさらに高い検出率を達成する。実験では、ランダムパターンで検出されなかった故障に対して入力先行型⁽⁸⁾を適用することにより、いくつかの回路で良好な結果を得ることができた。

2. テスト生成回路

2.1. 概要

現在実現しているテスト生成手法は3つある。

- ①ランダムパターン型（RP型）：被検査回路に対してランダムパターンを入力し、検出された故障を検査対象から取り除く。
- ②入力先行型（IF型）：被検査回路に対して、未探索空間から取り出した入力パターンの集合Iを設定する。Iが検出する可能性のある故障が存在する限りIの範囲を狭めていき、検出された故障を検査対象から取り除く。Iのもとで検出される故障が無くなった時点で未探索空間からIを取り除き、新たなIを設定する。
- ③故障先行型（FF型）：被検査回路中に1つの未検出故障fを仮定し、fを検出する入力パターンiを求める。次にiのもとでの等価故障を検出し検査対象から取り除く。

テスト生成回路は被検査回路に次の4つのモジュールを付加することにより合成される。

- ①同期制御器：上記したテスト生成手法に従って、各モジュールにクロック（Pclk, Rclk, Fclk）を発行することにより同期制御を行う。
- ②入力探索器：被検査回路に対して与える入力パターンを発生する。IF型またはFF型によりテスト生成を行う場合、Pclkに同期して入力の縦型探索を行う。RP型によりテスト生成を行う場合、Rclkに同期してランダムパターンを取り替える。
- ③故障挿入器：被検査回路中の信号線に仮定故障を挿入する。Fclkに同期して故障を取り替える。
- ④出力検査器：被検査回路の出力を検査して故障が検出されたかどうかを判定する。

2.2. 動的な故障挿入

テスト生成回路のシミュレーションを効率よく行うために、故障の動的な挿入を実現している。

本システムで用いている故障挿入器は単一縮退故障を対象としている。仮定故障のうち同一信号線上の0縮退故障と1縮退故障をまとめて一要素として、故障の仮定される素子の入出力線の各々に1つの故障挿入レジスタ（VC:Value Converter）が挿入される。VCは、故障挿入器を構成する基本レジスタである。各VCは内部に検出フラグを持ち、故障が検出されたときにフラグを立てて検査対象から外れる。また、自分が故障を挿入する信号線の論理値を知ることができるので、自分の持つ検出フラグと比較して、信号線に故障を挿入して影響が現れるときにのみ故障を挿入する。

故障シミュレーションはパラレル法を基本としているので、同時に複数個の故障を挿入することができる。その数を m とすると、仮定故障の集合を m 分割し各部分集合に属するVCを、故障挿入権を伝搬するキャリアで接続して計 m 本のチェーン（VCチェーン）を構成する。VCチェーンはFclkに同期して故障を取り替えるが、キャリアにより局所的に有効（未検出で挿入して影響が現れる）な故障のみが選ばれて次々挿入される。このように、故障の動的な挿入を行うことにより故障シミュレーションの回数を削減している。

2.3. テスト生成手法の変更

被検査回路の初期的な入力としてランダムパターンを用いると、短時間に高い検出率を達成することができる。しかし、未検出故障が少なくなってくると、1個の故障を検出するために投入するパターン数が多くなり経過時間に比べて検出率の伸びが小さくなる。そこで、一般に、ランダムパターンを用いてある程度の検出率を達成した後、アルゴリズム的にテストパターンを生成して、さらに検出率を高めるという手法が取られている。我々のシステムでも、まず、被検査回路に対してRP型を適用して高速に検出率を高めた後検出されなかった故障に対してIF型、FF型を適用して、より高い検出率を持つテストパターンを高速に生成する。本システムでは、同期制御器にテスト生成手法を次々と変更する機構を付加することで、効率良くテスト生成を遂行する方式を可能にしている。テスト生成手法の変更の時期は、同期制御器内部にあらかじめ設定することができる。

3. ランダムパターン型によるテスト生成

RP型によるテスト生成手法を10個のベンチマーク回路⁽¹⁰⁾に適用して実験を行った。実験で使用したランダムパターンは、あらかじめホスト上のシステム関数を用いて必要数生成したものをSP内部のメモリにロードしておく。入力探索器はRclkによりカウンタをインクリメントしてメモリからランダムパターンを読

み出し、被検査回路の入力とする。もちろん、線形帰還シフトレジスタのような疑似乱数発生器をRclkにより動作させて入力パターンを得るような機構にすることも可能である。適用したパターン数は4096個とした。また、性能を評価するためにパターンを32個ずつ区切ってシミュレーションを行った。

3.1. 単プロセッサによるシミュレーション

まず、1台のプロセッサを用いて実験を行った。故障（VC）は回路記述ファイルに出現する順に2つの集合に振り分け、順番にキャリアで結合することにより2本のVCチェーンを構成した。各パターンでの検出故障数および故障検査数、32パターンごとのシミュレーションに要した時間および動作クロック数を測定した。故障検査数とは1個のパターンに対して故障挿入器が挿入した故障の数である。所要時間はSPがシミュレーションを実行した経過時間で、動作クロック数とは同期制御器に対して与えられる基本クロック（Bclk）数である。表1に実験結果を示す。c2670, c7552を除いて検出率が95%を越えている。また、c432, c499, c1355, c5315, c6288においては、文献(4)に示される検出可能な故障はすべて検出されていることから、初期パターンとしてランダムパターンを用いることが有効であることがわかる。

図2に適用したパターン数に対する未検出故障数と故障検査数の変化を示す。故障検査数はRclk～Rclk間に各VCチェーンに対して発行されたFclk数を合計して求めた。図中、点線は（未検出故障数/2）の値を示す。すべての回路で故障検査数は常に未検出故障数の約半分の値である。この結果から、動的な故障挿入の実現によりテスト生成回路の動作量の削減が効率良く行われていることがわかる。

図3に各測定区間に対して要した時間と動作クロック数の変化を示す。いずれの回路もシミュレーションが進むにつれて1パターン当たりの故障シミュレーションに要する時間および動作クロック数が減少しているが、所要時間が動作クロック数に比べて減少率の小さい回路がある。

テスト生成回路はBclkにより動作しており、

$$Bclk数 = Fclk数 + Rclk数 \quad \dots (式1)$$

である。Fclkによるテスト生成回路の動作（シミュレーション時のイベント）は、故障の挿入状況が変化した信号線から、その信号線が支配する出力へのバス上の素子に発生する。一方、Rclkでは被検査回路の入力がランダムに変化するので、Rclkによるテスト生成回路の動作量はFclkによる動作量に比べて大きいと予測できる。各区間のシミュレーションにおいて、Fclk数は図2に示すように減少していくが、Rclk数は一定（

表1. 単プロセッサによる実験結果 (4096パターン) : preliminary

回路名	ゲート数	テスト生成回路規模	全故障数 (VC数)	未検出故障数 (VC数)	検出率 (%)	テスト数	所要時間 (秒)	動作クロック数
c432	160	2110	524 (392)	4 (4)	99.24	88	5.896	16368
c499	202	2540	758 (459)	8 (8)	98.94	64	9.464	18556
c880	383	4155	942 (791)	7 (7)	99.26	106	12.14	20344
c1355	546	6180	1574(1283)	8 (8)	99.49	102	25.25	30613
c1908	880	7219	1879(1469)	16 (16)	99.15	178	64.49	77069
c2670	1193	12071	2747(2153)	430 (387)	84.35	111	380.4	418556
c3540	1669	13554	3428(2827)	145 (145)	95.77	244	215.6	166765
c5315	2303	22152	5350(4421)	59 (59)	98.90	229	263.2	118763
c6288	2406	27861	7744(6256)	34 (34)	99.56	55	225.1	23980
c7552	3512	30158	7550(6142)	438 (421)	94.20	266	1523	596461

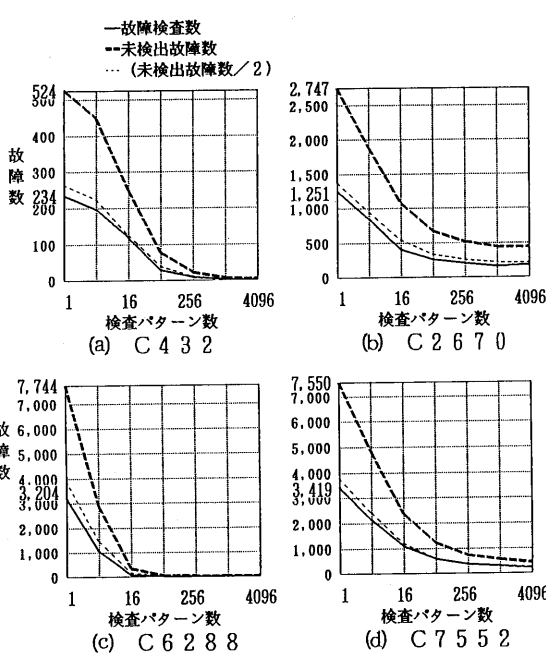


図2. 検査パターン数に対する未検出故障数と故障検査数の変化

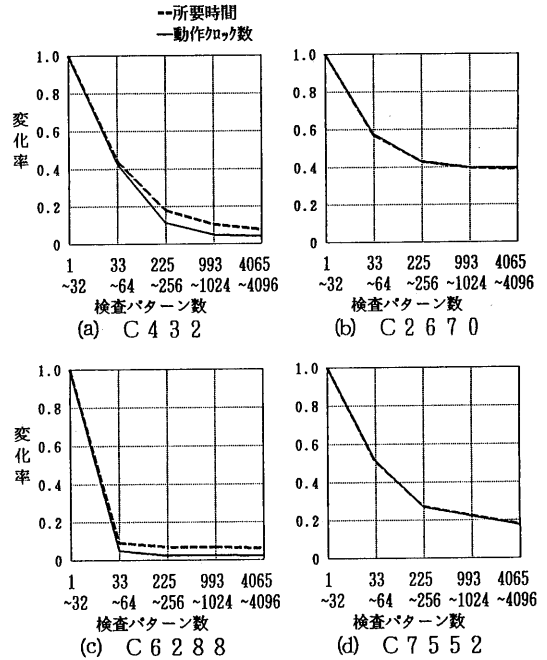


図3. 検査パターン数に対する各区間の所要時間と動作クロック数の変化

32個)である。従って、未検出故障数が少なくなるほどRclkによる動作量が支配的となり、動作クロック数に比べて所要時間の減少率が小さくなる。c2670, c7552などは最後まで多くの故障が検出されずに残っており、Rclkによる動作量が依然支配的であるため、所要時間と動作クロック数の減少率はほぼ同じになる。

3.2.複数プロセッサによるシミュレーション

4台までのプロセッサを用いて並列処理による台数効果を測定した。

並列処理を行う場合、問題をどのように分割するか分割した問題を資源にどのように割り当てて処理を行うかを決定することが重要である。

問題を分割するアプローチとして、

①仮定故障の集合を分割し、各部分集合に対してテスト生成を行う。ただし、RP型の場合、各故障集合には同じランダムパターンを適用する。IF型、FF型の場合、各故障集合に対する入力探索は全空間を対象とする。

②テストパターンの探索空間を分割する。すなわちRP型の場合、適用するランダムパターンの集合を分割する。IF型、FF型の場合、探索を行う入力空間を分割する。ただし、分割された入力はそれぞれ全仮定故障を対象とする。

③仮定故障の集合を分割し、さらに、各部分集合に属する故障に対するテストパターンの探索を分割して行う。すなわち、①と②のアプローチを組み合わせる。

の3通りがある。①は仮定故障の部分集合に対する探索は独立に行うことができる。②においてフォールトドロップを行うためには、ある入力空間内で故障が検出されたときに、他の空間を探索しているプロセスに対して、検出された故障の情報を伝達する手段が必要となる。③は①または②のアプローチによる並列処理の性能の向上が限界に達した場合に有効な手法である。例えば、仮定故障の分割による並列処理の性能の向上が限界に達した場合、それ以上故障の分割は行わず、各部分集合に対する入力探索を分割することによって、さらに性能を向上させることが可能になる。

本システムにおいては、分割された小問題ごとにテスト生成回路を合成し、SPを用いて各テスト生成回路をシミュレーションする。テスト生成回路をシミュレーションするときのアプローチとしては、

④1台のプロセッサに1個のテスト生成回路をロードしてシミュレーションを行う。

⑤1台のプロセッサに複数個のテスト生成回路をロードしてシミュレーションを行う。

⑥1個のテスト生成回路を複数台のプロセッサに分割してロードしてシミュレーションを行う。

の3通りがある。④は、並列処理を行う手法として一般的なものである。⑤は、合成されたテスト生成回路の規模がプロセッサの容量(64k素子/GP)に比べて十分小さく、シミュレーションのパイプライン効果が現れない場合に有効である。⑤は、一般に、合成されたテスト生成回路がプロセッサの容量を越えた場合に

適用される。また、容量の範囲内であっても、分割してシミュレーションしたほうが効率が良い場合がある。このアプローチでは、負荷分散を考慮してテスト生成回路をどのように分割するかが問題となる。

今回の実験では①と④を組み合わせた。その理由は、テスト生成回路の合成が容易で、しかも、プロセッサ(GP)間の通信がまったく起きないので、性能評価が簡単になるからである。

各テスト生成回路が受け持つVCチェーン数はすべて2本とした。従って、n台のプロセッサを用いる場合には、仮定故障の集合を3.1節と同様に被検査回路の記述ファイルに出現する順に2n個の部分集合に分割する。それをもとに、2個の故障集合をペアにしてn個のテスト生成回路を合成し、n台のプロセッサに1回路ずつロードしてシミュレーションを行った。その結果を表2に示す。また、1台のプロセッサを用いてシミュレーションを行った場合に要した時間および動作クロック数を1としたときの台数効果(加速比)を図4に示す。実線が所要時間、破線が動作クロック数を示す。なお、一点鎖線(---)は、後述するように動作クロック数の台数効果の理論値を示す。

p番目のパターンに対する故障検査数を $F(p, F_0)$ とする。 F_0 は全故障数である。また、全パターンに対するシミュレーション中に検査される故障の合計は $\Sigma_p F(p, F_0)$ である。n台のプロセッサを用いる場合、各テスト生成回路に割り当てられる仮定故障数は F_0/n となる。i番目のテスト生成回路でp番目のパターンに対する故障検査数を $F_i(p, F_0/n)$ とする。ところで、p番目のパターンに対して検査される故障の総数は分割に関係なく一定であるので、

$$F(p, F_0) = \Sigma_i F_i(p, F_0/n)$$

であり、全パターンに対する故障検査数の合計は、

$$\Sigma_p F(p, F_0) = \Sigma_p \Sigma_i F_i(p, F_0/n)$$

となる。ここで、各プロセッサにロードしているテスト生成回路間でFclk数のばらつきが無いと仮定すると、

$$\Sigma_p F(p, F_0) = n \Sigma_p F_i(p, F_0/n)$$

$$\therefore \Sigma_p F_i(p, F_0/n) = \Sigma_p F(p, F_0)/n \quad \dots (式2)$$

となる。故障検査数は各VCチェーンに対して発行されるFclk数の和に等しい。全Rclk数をRclkすると、故障をn分割した場合の動作クロック数Bclk(n)は式1より、

$$Bclk(n) = \Sigma_p F_i(p, F_0/n) + Rclk$$

(分割しない場合は $n=1$)

となる。従って、分割によるBclk数の比 R_b は、

$$R_b = \frac{Bclk(n)}{Bclk(1)} = \frac{1}{n} + \frac{(n-1)Rclk}{n \cdot Bclk(1)} \quad \dots (式3)$$

となる。式3より加速比 $1/R_b$ を求めたものを図4中

表2. 複数プロセッサによる実験結果 (4096パターン) :preliminary

プロセス数 回路名	所要時間 (秒)				動作クロック数			
	1	2	3	4	1	2	3	4
c432	5.896	3.357	2.346	1.662	16368	13056	11490	10562
c499	9.464	5.449	3.826	1.675	18556	12808	11322	9189
c880	12.14	6.123	5.313	3.065	20344	14035	16960	11020
c1355	25.25	14.71	11.56	8.364	30613	26625	16417	24363
c1908	64.49	30.10	21.15	17.15	77069	46207	34362	31461
c2670	380.4	127.3	70:20	49.49	418556	223151	158032	117424
c3540	215.6	86.79	58.57	44.52	166765	92223	72502	58014
c5315	263.2	113.7	77.43	62.27	118763	65139	49518	42895
c6288	225.1	169.4	147.3	128.3	23980	16528	14306	13308
c7552	1523	471.2	249.9	168.1	596461	318397	218666	167567

に一点鎖線 (---) で示す。実際の動作クロック数の加速比は、式3の予測に非常によく一致している。若干の差が生じている理由は、各パターンに対するテスト生成回路間でのPclk数のばらつきや、32パターンずつ区切ってシミュレーションしたことによる各区間での各テスト生成回路の動作量のばらつきのために、性能が落ちるからである。

テスト生成回路中のVC数を#VCとし、被検査回路中のゲート数をGとする。1発のRclkに対する、故障をn分割したテスト生成回路の動作量 (イベント数) $M_R(n)$ は、

$$M_R(n) = \alpha(G + \#VC/n) + \beta$$

となる。ここで、 α は(被検査回路+VC)のイベント率、 β はその他の付加回路の動作量である。従ってn分割することによるRclkでのテスト生成回路の動作量の比 R_R は、

$$R_R = \frac{M_R(n)}{M_R(1)} = \frac{\alpha(G + \#VC/n) + \beta}{\alpha(G + \#VC) + \beta}$$

となり、Rclkでのテスト生成回路の動作量は分割による台数効果はあまり期待できない。

現在のテスト生成回路のインプリメント法では、PclkがあるVCチェーンに発行されると、そのチェーンに属する全VCが評価される。ゆえに、全Pclkに対する、故障をn分割したテスト生成回路の動作量 $M_F(n)$ は、

$$M_F(n) = \sum F_i(p, F_0/n) \cdot (\#FIR/n + \tau)$$

となる。 τ は故障の挿入状況の変化にともなう回路の動作量である。従って、n分割することによるPclkで

のテスト生成回路の動作量の比 R_F は、式2より、

$$R_F = \frac{M_F(n)}{M_F(1)} = \frac{\#VC/n + \tau}{n(\#VC + \tau)}$$

となり、Pclkでのテスト生成回路の動作量は分割による台数効果のオーダは $O(1/n^2)$ と台数以上の加速を期待できる。

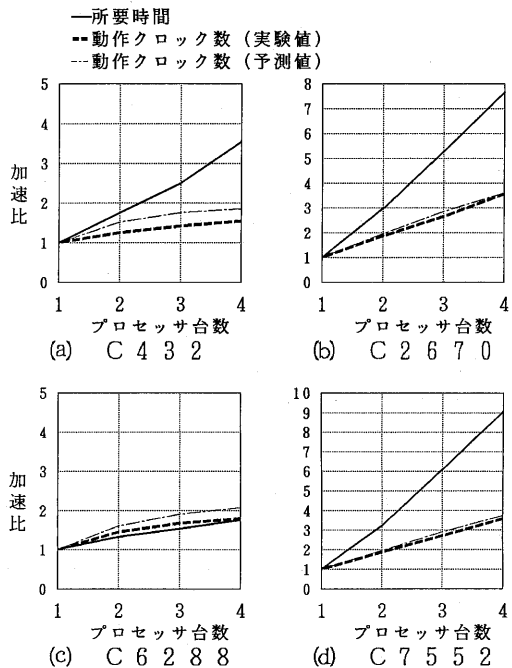


図4. 並列処理による加速

表3. テスト生成手法の変更による実験結果・その1:preliminary
(4台のプロセッサを用いて, RP型により256パターン適用した後, IF型に変更)

回路名	RP型 (256パターン)			IF型				全体		
	所要時間 (秒)	未検出 故障数	テスト 数	所要時間 (秒)	アボート 故障数	冗長 故障数	テスト 数	所要時間 (秒)	検出率 (%)	テスト 数
c432	0.317	22	76	0.054	4	0	6	0.371	99.24	82
c499	0.333	19	54	0.113	9	0	9	0.446	98.81	63
c880	0.572	47	81	0.145	0	0	26	0.717	100	107
c1355	1.13	102	68	0.367	9	0	34	1.50	99.43	102
c1908	2.29	253	83	1.70	55	0	89	3.99	97.07	172
c2670	3.70	512	86	22.4	299	0	102	26.1	89.12	188
c3540	4.94	306	146	5.51	160	39	77	10.5	94.19	223
c5315	8.09	177	154	1.44	113	0	45	9.53	97.89	199
c6288	11.8	34	55	0.72	34	0	0	12.5	99.56	55
c7552	16.9	720	165	49.0	460	2	102	65.9	93.88	167

並列処理による加速は, R_R と R_F のトレードオフにより決定される. c2670, c7552においては, 最後まで多くの故障が検出されずに残っている. すなわち, テスト生成回路の動作量はPclkによる動作量が最後まで支配的となっているので, 故障を分割すると, R_F が性能を支配して台数以上の加速を示した. 一方, c6288 では, 少ないパターン数でほとんどの故障が検出されてしまったため, R_R が性能を支配して故障を分割しても加速しなかった. c432では, ちょうどその中間であり, ほぼ台数通りの加速を示した. 以上の考察より, 故障の分割数を増やしていくにつれて, R_R の支配が強くなり加速が鈍る地点があることが指摘できる. そのときに, 並列度に余裕があれば, ③のアプローチに変更することで, さらに処理効率を上げることが可能になるであろう. また, ある程度の検出率が得られた時点でテスト生成手法を変更した方が効率が良いと思われる.

4. テスト生成手法の変更による高速化

全仮定故障に対してRP型を適用した後, 検出されなかった故障に対してIF型を適用した.

RP型からIF型へ切り換える時期の考察は今後の課題として, 実験では, 簡単のためすべてのベンチマーク回路に対して256個のランダムパターンを適用した後, テスト生成手法の切り換えを行った. IF型では, 入力探索は縦型探索アルゴリズムにもとづいて行う. 探索において, 入力の値を決定する順番は入力

が回路の記述ファイルに現れる順番とした. 各入力の信号値は $X \Rightarrow 0 \Rightarrow 1 \Rightarrow X$ と変化させる. また, 出力検査器の内部に, 検出が困難である故障を検査対象から一時的に削除するアボート回路を付加し, 探索時間が不必要に長くなるのを抑えた. 実験では, 故障が検出されることなく64回のバックトラックが行われたとき挿入していた故障をアボートするようにした.

IF型における縦型探索は, 入力信号値をすべてXにリセットして開始される. 探索中に再び信号値がすべてXにもどったとき, 入力の全空間の探索を終了したことになる. このとき, アボートされずに残っていた未検出故障は冗長故障であることが証明される.

実験では, 3.2.節の方法で故障を分割し, 4台のプロセッサを用いて並列処理を行った. RP型の適用後, 未検出故障に対してテスト生成回路を再合成してIF型によるテスト生成を行った結果を表3に示す.

以下では, 3.2.節において, 4台のプロセッサを用いて4096個のランダムパターンによるRP型を適用した実験結果との比較を行う.

c432, c880, c6288 は最高検出率 (文献(4)) を, 3.2.節の実験に比べて4~10倍高速に達成している. c2670 は約半分の所要時間で検出率が向上しているが, 依然90%には達していない. その他の6個の回路では検出率が落ちており, これはRP型からIF型へテスト生成手法を変更する時期が悪かったためと思われる. そこで, その中で, 3.2.節の実験で最高検出率を達成していない回路 (c1908, c3540, c7552) とc2670に

表4. テスト生成手法の変更による実験結果・その2:preliminary
(4台のプロセッサを用いて, RP型により4096パターン適用した後, IF型に変更)

回路名	RP型 (4096パターン) 未検出故障数	IF型				全体 検出率 (%)
		所要時間 (秒)	アボート 故障数	冗長 故障数	テスト 数	
c1908	16	0.46	13	0	3	99.31
c2670	430	17.0	255	0	80	90.72
c3540	145	2.23	103	38	4	95.89
c7552	438	22.7	260	9	75	96.44

対して, RP型により4096個のランダムパターンを適用した後テスト生成手法をIF型に変更して実験を行った。結果を表4に示す。その結果, 4回路とも数〜数十秒のシミュレーションでさらに検出率を向上していることがわかる。

以上の考察から, RP型からIF型へのテスト生成手法の最適な変更時期を設定することで, より高い検出率を効率良く達成できることがわかる。また, テスト生成手法をFF型に変更することで, さらに高い検出率を達成できる。

4.おわりに

被検査回路の入力としてランダムパターンを適用するテスト生成手法をインプリメントして性能を評価した。また, 複数のプロセッサに仮定故障を分割して与え, 並列処理による高速化を図った。また, その性能を解析的に予測することを試み, 実験値と良く一致した。その結果, 仮定故障数が多く, かつ検出率の低い回路ほど並列処理により台数以上の加速を示すことがわかった。これは, テスト生成回路のインプリメント法によるもので, 今後, Pclkの発行方式を最適化してPclkによるテスト生成回路の動作量を低減することによりシミュレーションの高速化を図る予定である。また, 故障の分割数をさらに増やしたときの性能を測定する予定である。

RP型からIF型へテスト生成手法を変更した結果手法を変更する時期を適切に設定することにより, より高い検出率をより高速に達成できることがわかった。今後, テスト生成手法の変更を行う最適な時期の解析を行う予定である。また, テスト生成手法をFF型に変更することで, さらに高い検出率を達成する。

参考文献

- (1) 樹下, 藤原: デジタル回路の故障診断 (上), 工学図書, 1983年。
- (2) P.Goel, "An Implicit Enumeration Algorithm to Generate Tests for Combinational Logic Circuits," *IEEE Trns. on Computers*, Vol.C-30, No. 3, pp.215-222, March 1981.
- (3) H.Fujiwara, "FAN: A Fanout-oriented Test Pattern Generation Algorithm," *Proc. ISCAS' 85*, pp.671-674, June 1985.
- (4) M.H.Shulz, A.Elisabeth, "Advanced Automatic Test Pattern Generation and Redundancy Identification Techniques," *FTCS-18*, pp.30-35, June 1988.
- (5) 伊藤, 石浦, 矢島: 高速故障シミュレータを用いたテスト生成, 情報処理学会第37回全国大会, pp.1830-1831, 1988年9月。
- (6) A.Motohara, K.Nishimura, H.Fujiwara and I.Shirakawa, "A Parallel Scheme for Test-pattern Generation," *Proc. ICCAD*, pp.156-159, November1986.
- (7) F.Hirose, et al., "Simulation Processor "SP", " *Proc. ICCAD*, pp.484-487, November 1987.
- (8) F.Hirose, K.Takayama, and N.Kawato, "A Method to Generate Tests for Combinational Logic Circuits using an Ultrahigh-speed Logic Simulator," *Proc. ITC*, pp.102-107, September 1988.
- (9) 高山, 広瀬, 川戸: シミュレーション専用マシンSPによる自動テスト生成, 情報処理学会第36回全国大会, pp.2055-2056, 1988年3月。
- (10) F.Brglez, H.Fujiwara, "A neutral netlist of 10 combinational circuits and a target translator in FORTRAN," *Special Session on ATPG and Fault Simulation, Proc. ISCAS*, June 1985.